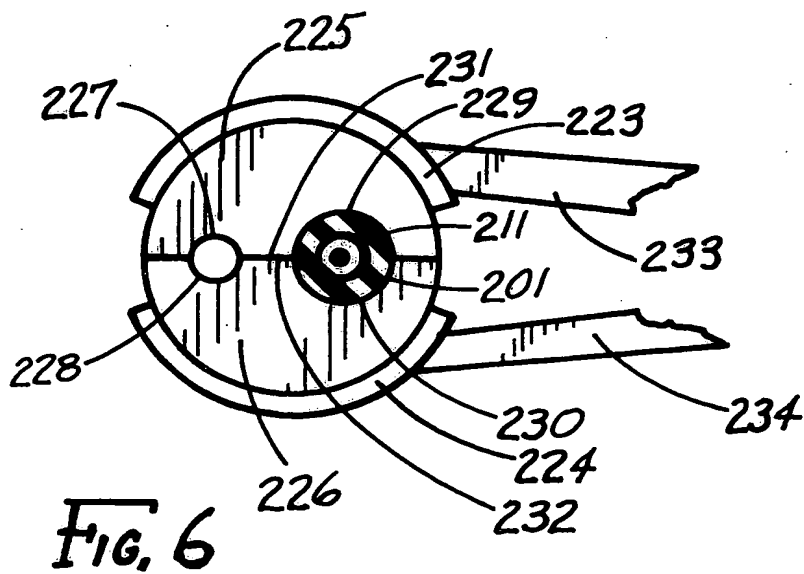
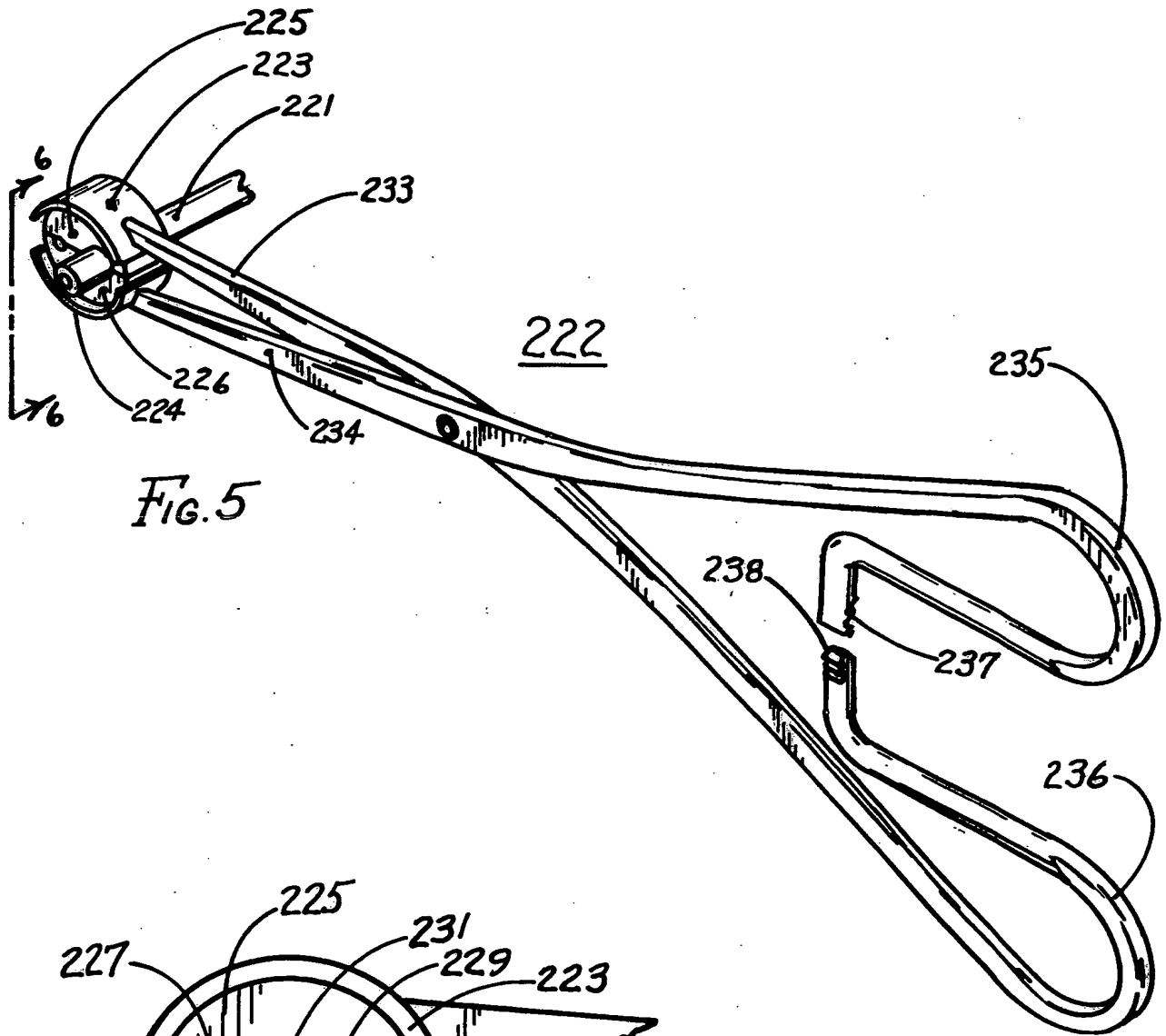
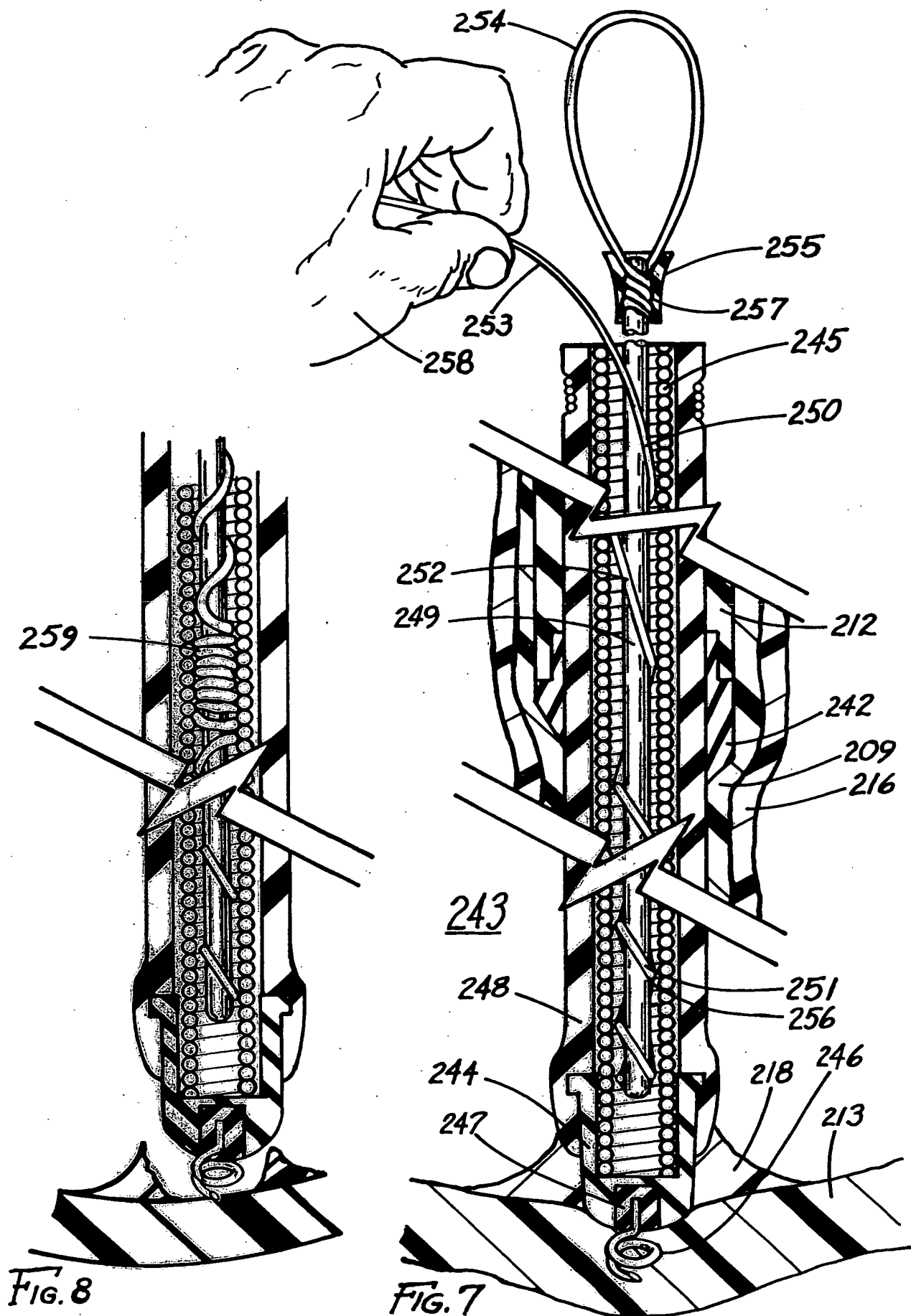


PRIOR ART

FIG. 2





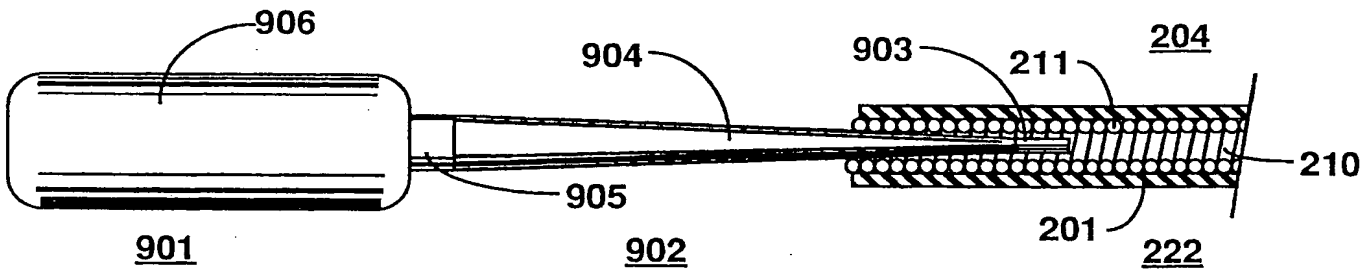


FIG. 9

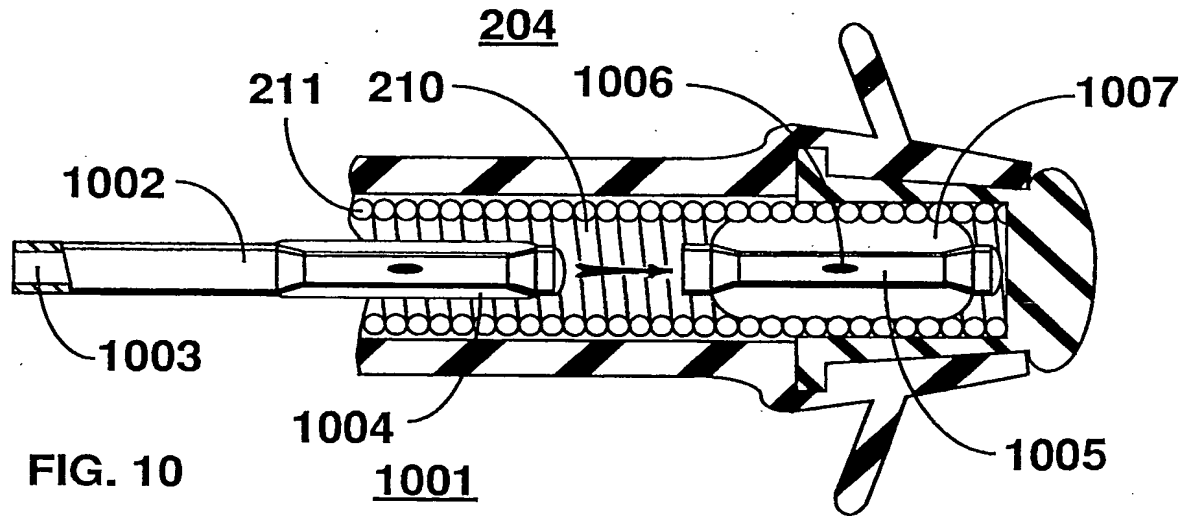


FIG. 10

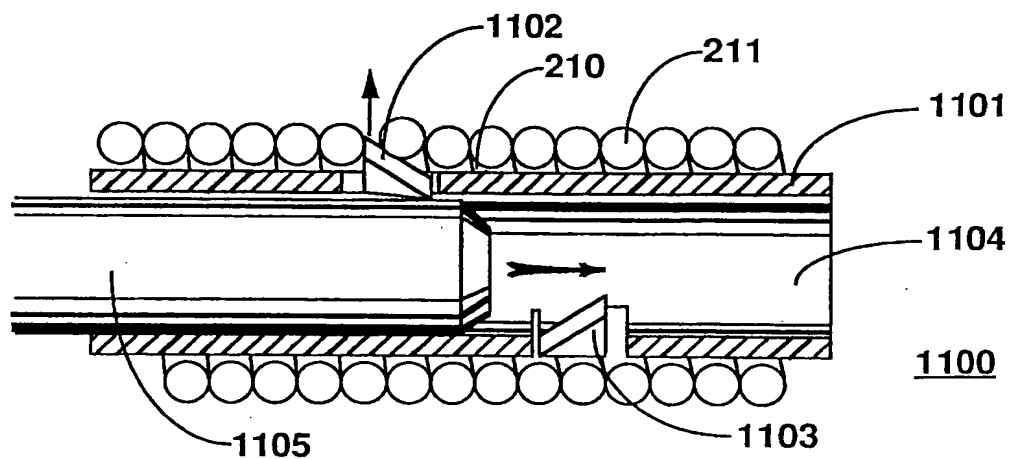
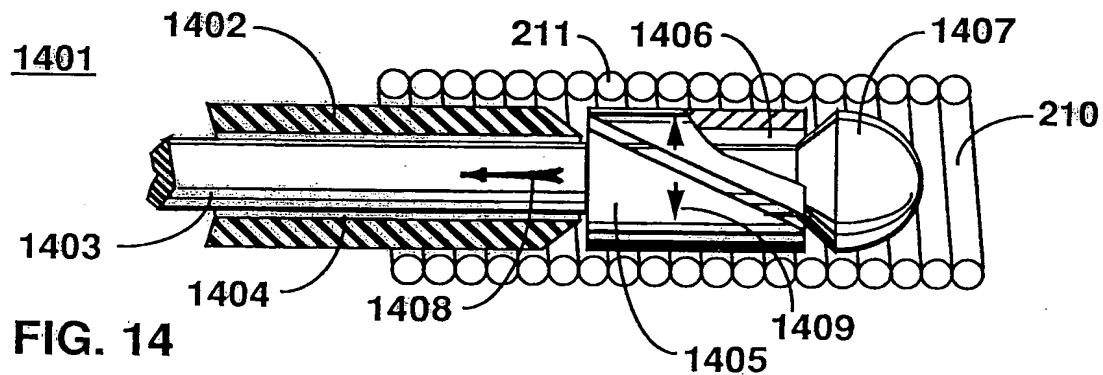
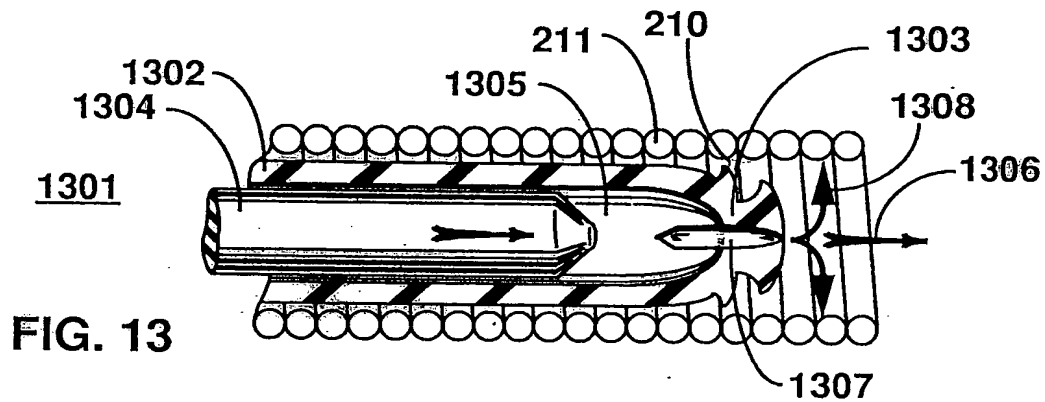
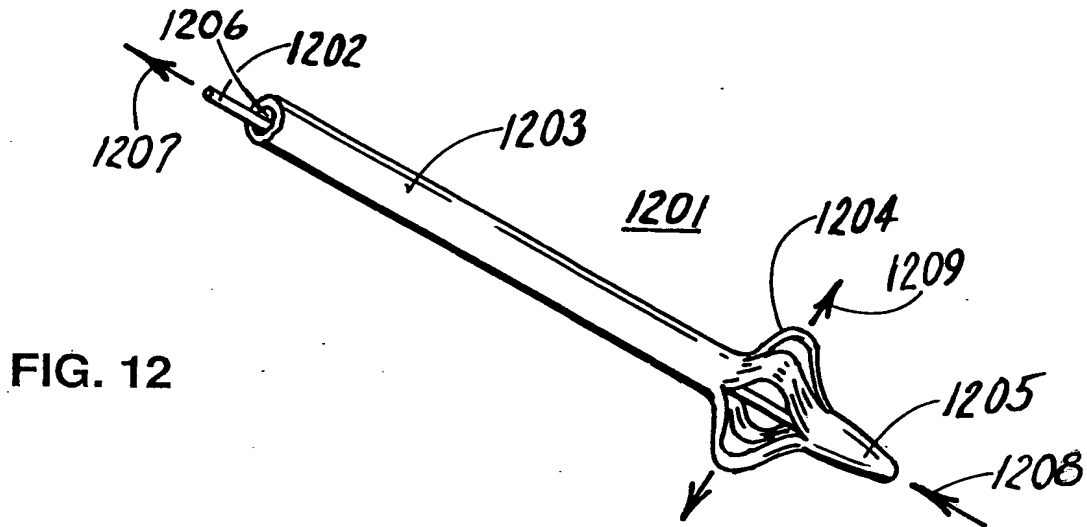


Fig. 11



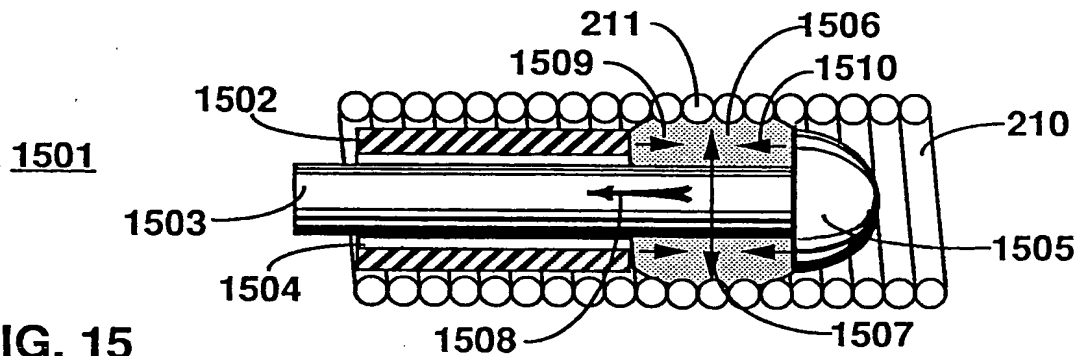


FIG. 15

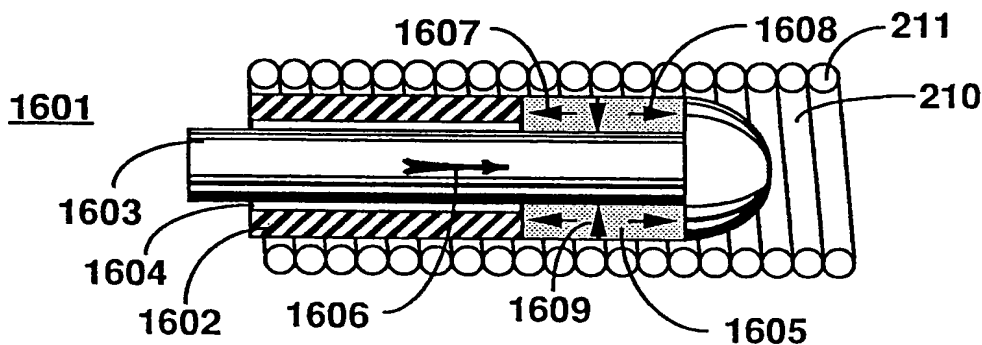


FIG. 16

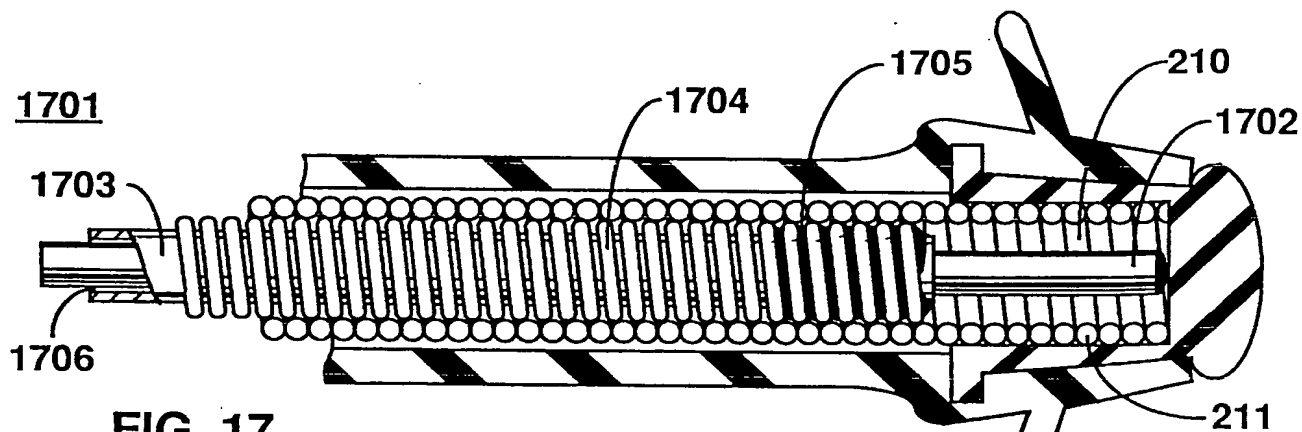


FIG. 17

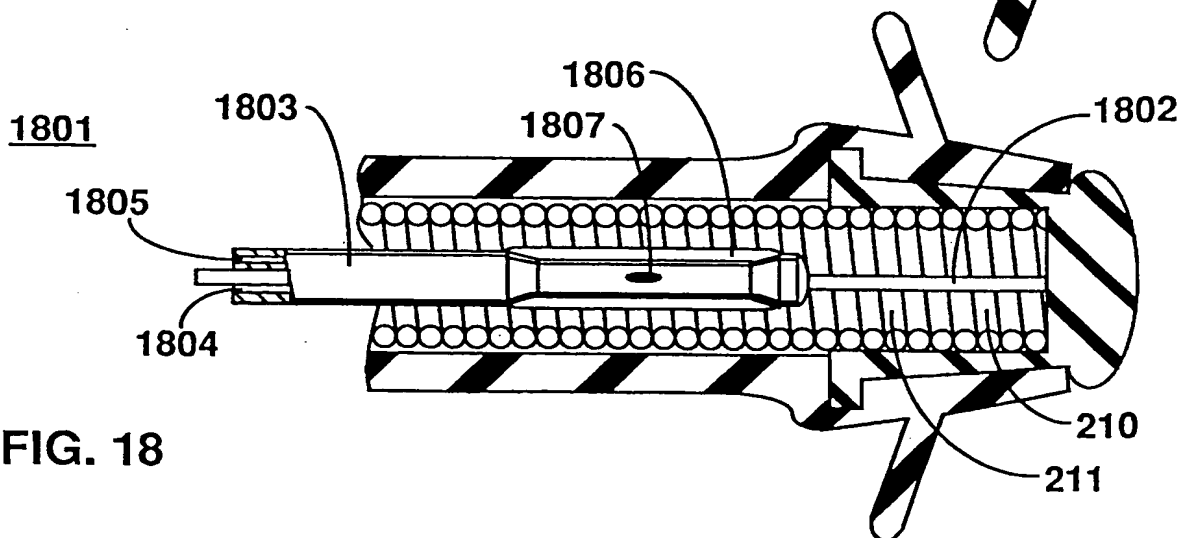


FIG. 18

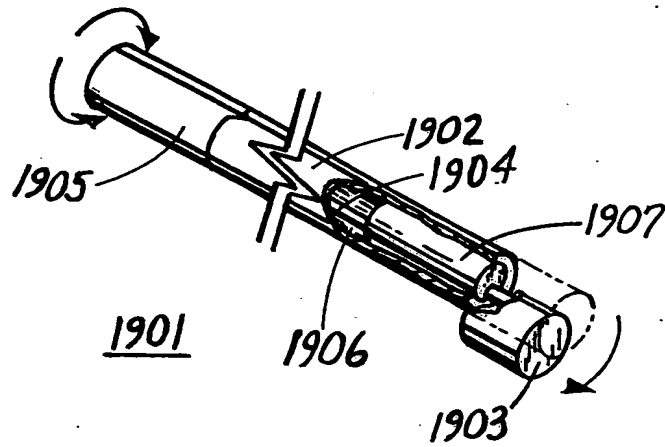


Fig. 19

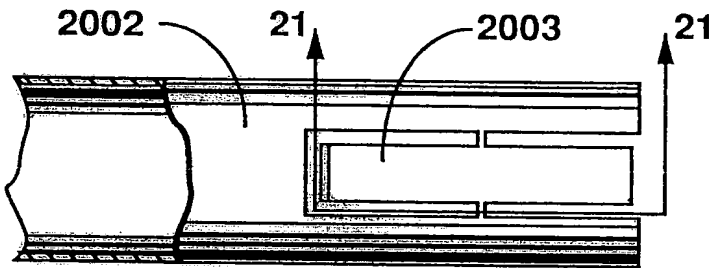


Fig. 20

2001

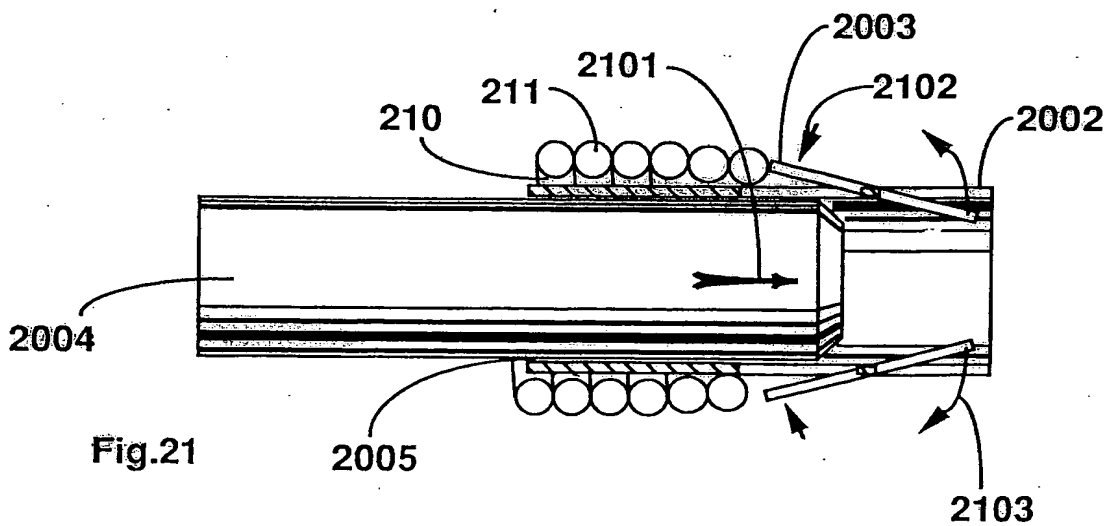
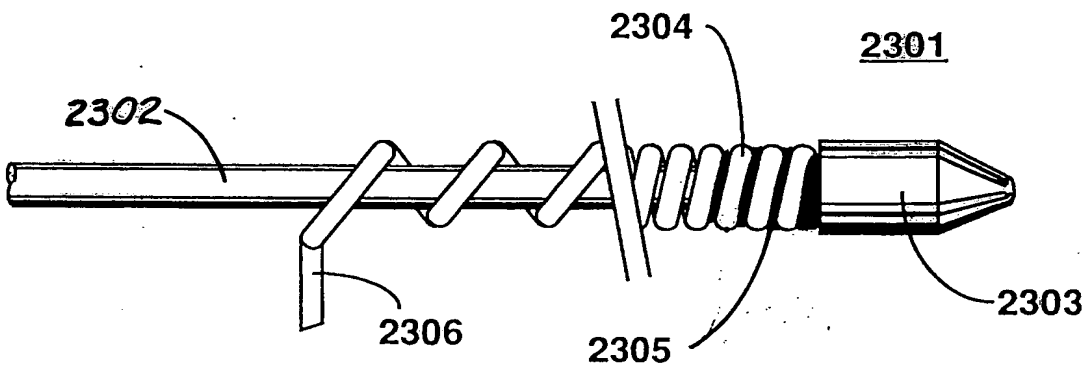
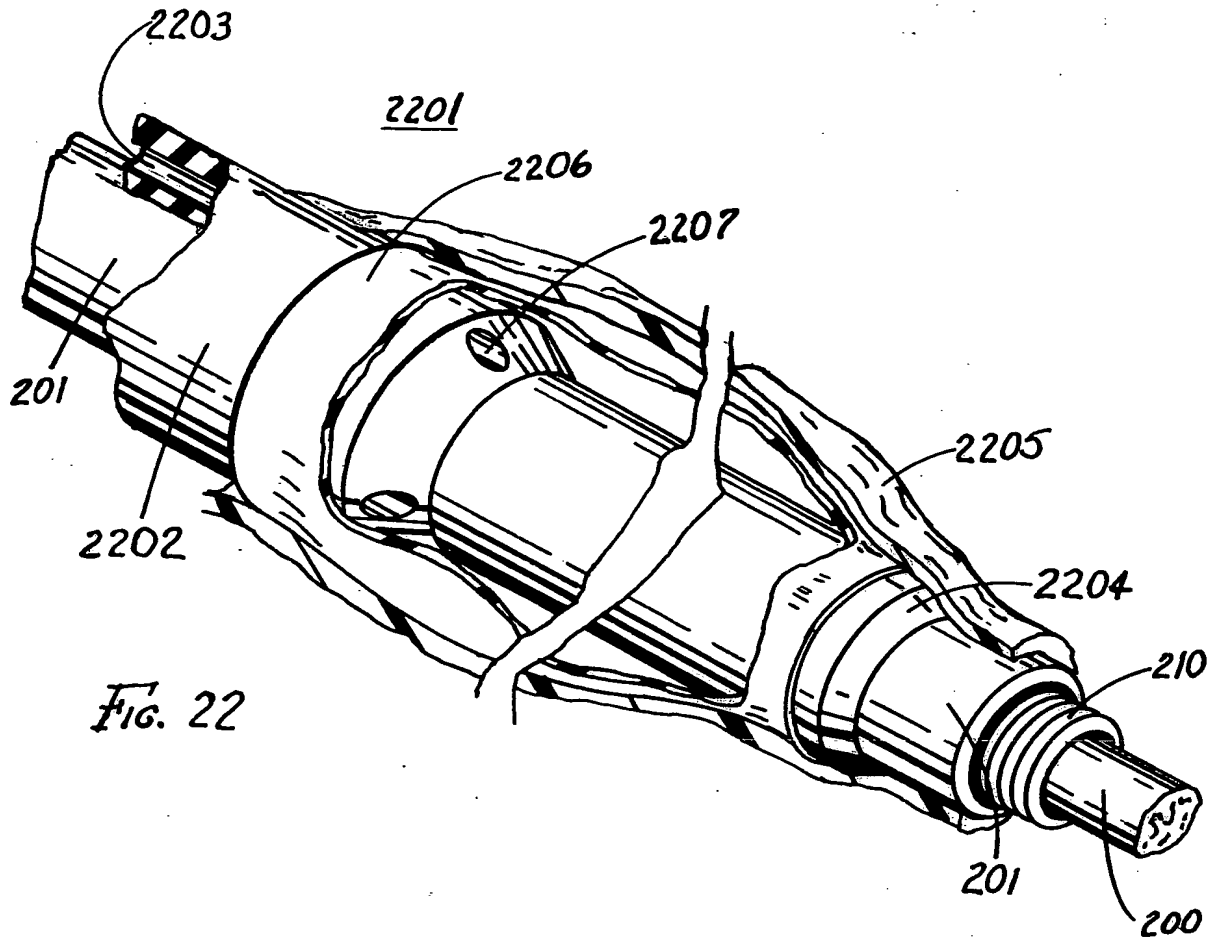
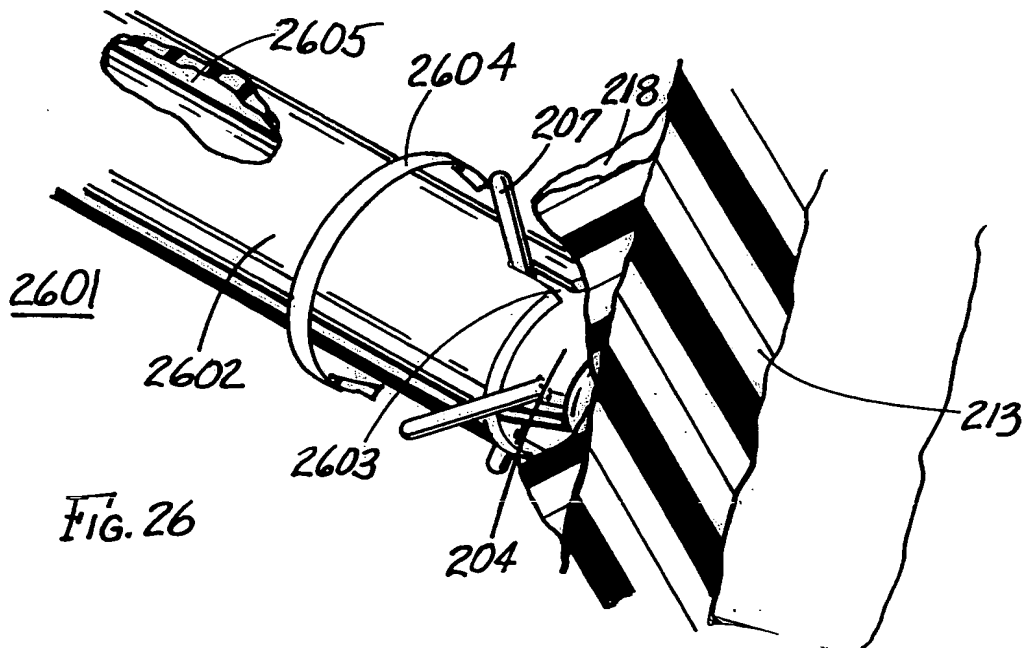
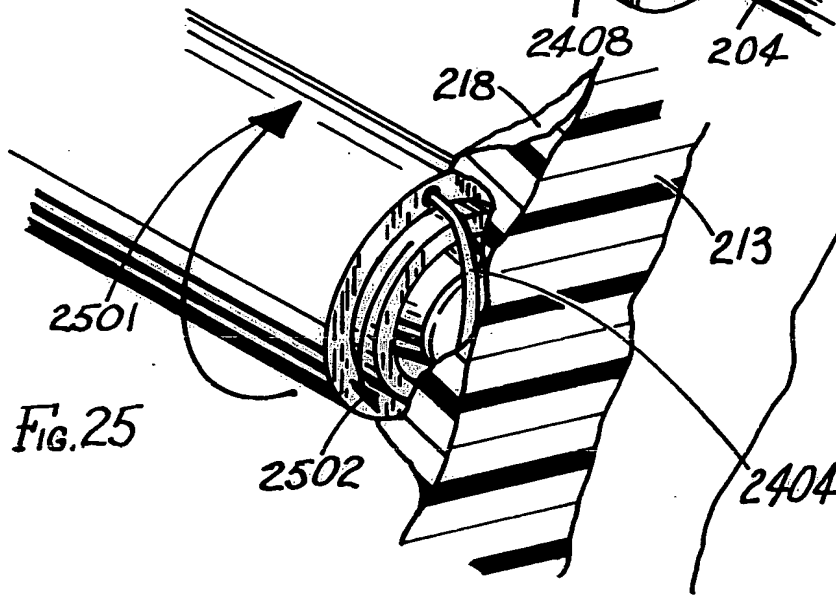
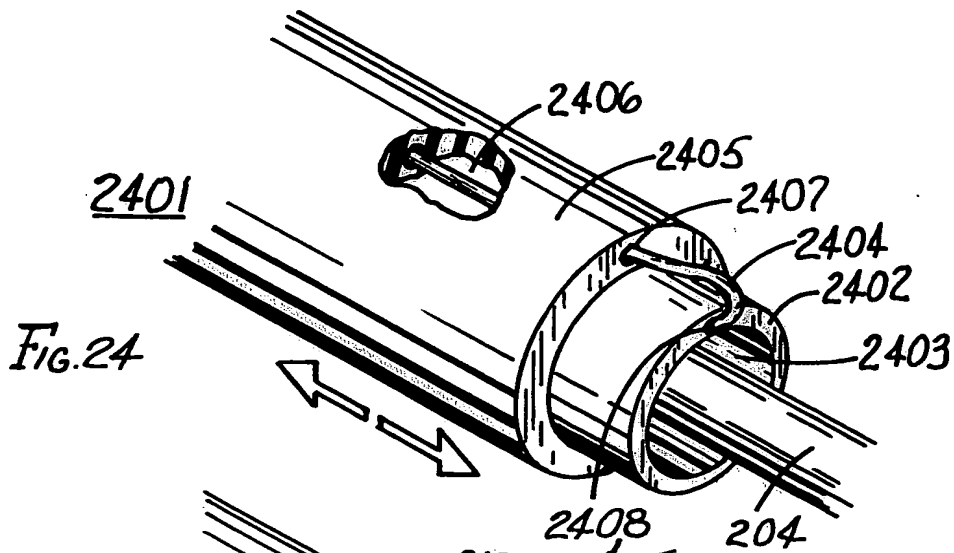
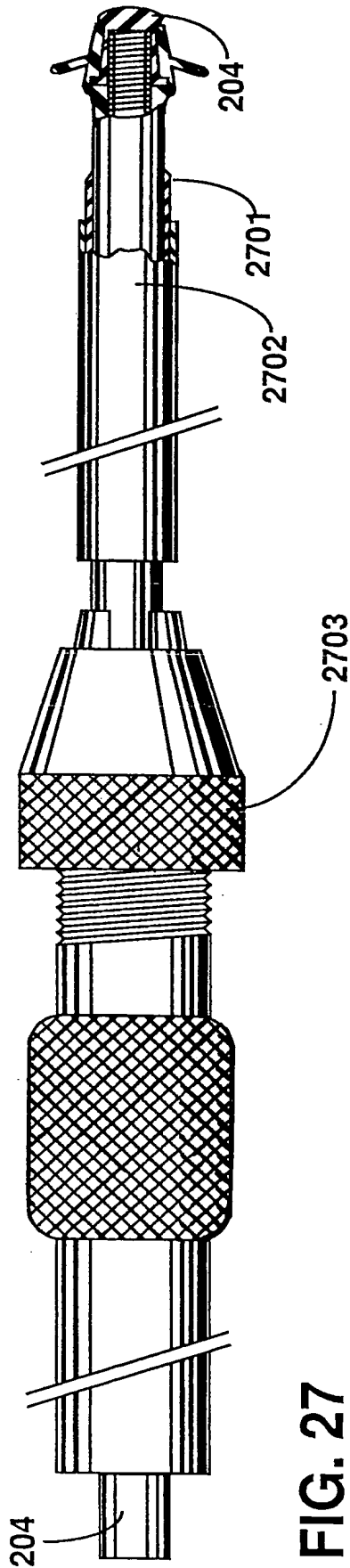


Fig. 21









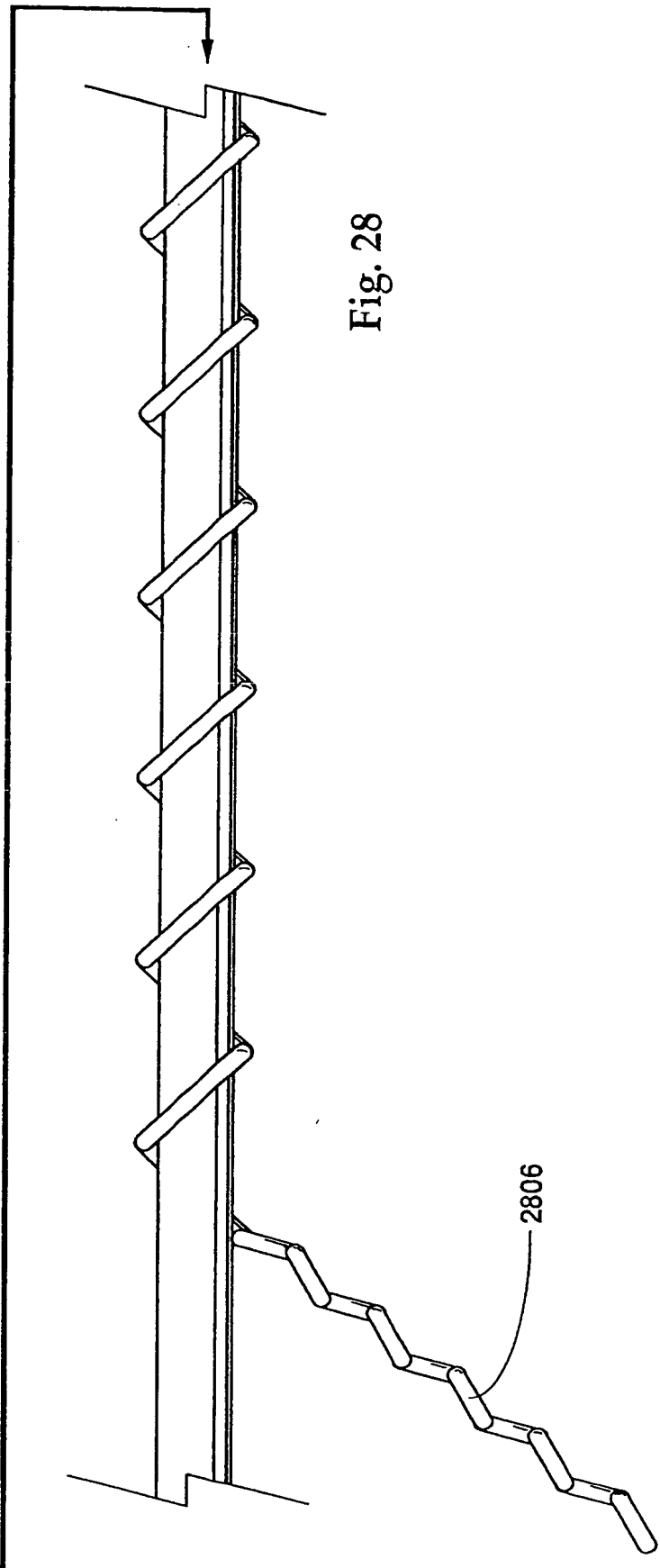
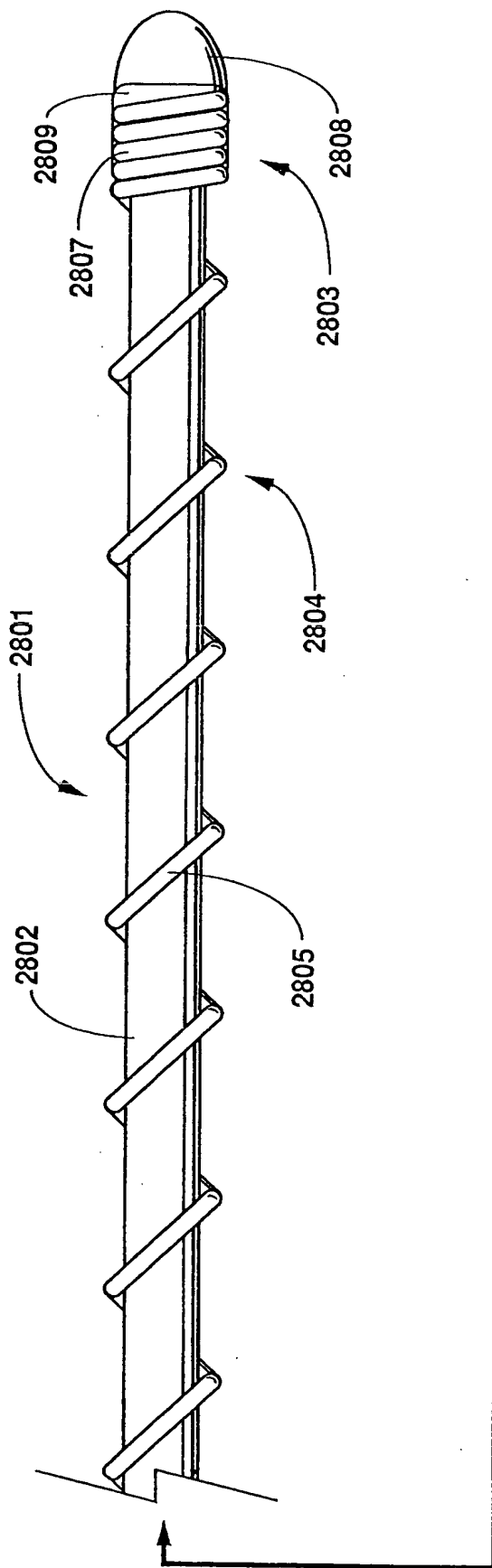


Fig. 28

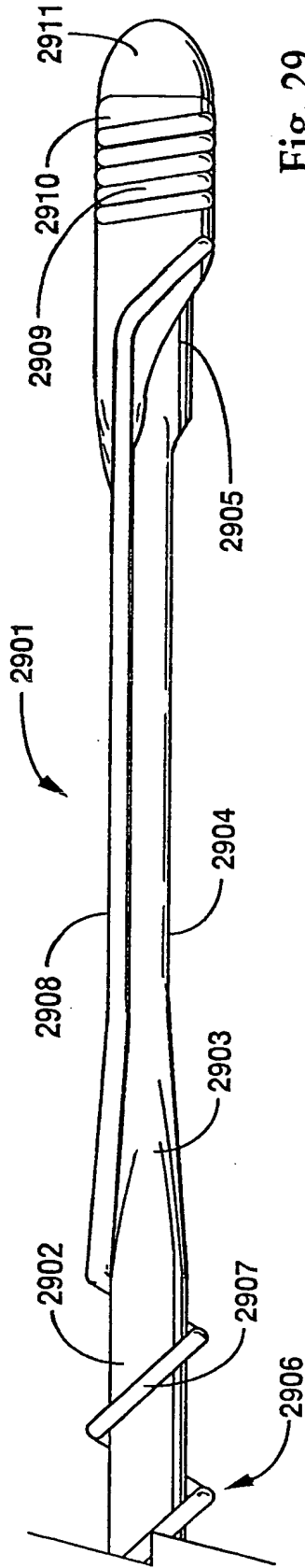


Fig. 29

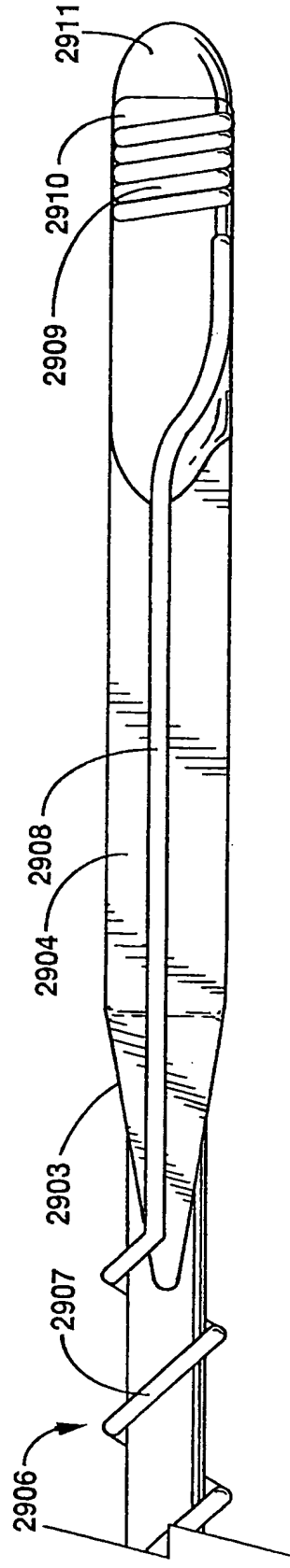


Fig. 30

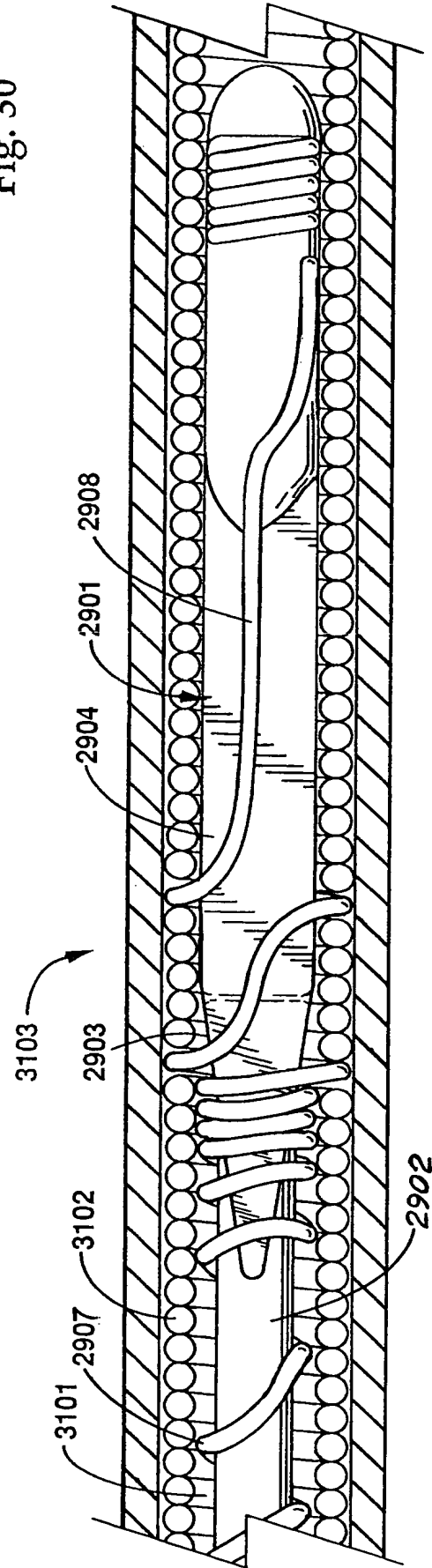


Fig. 31

FIG. 32

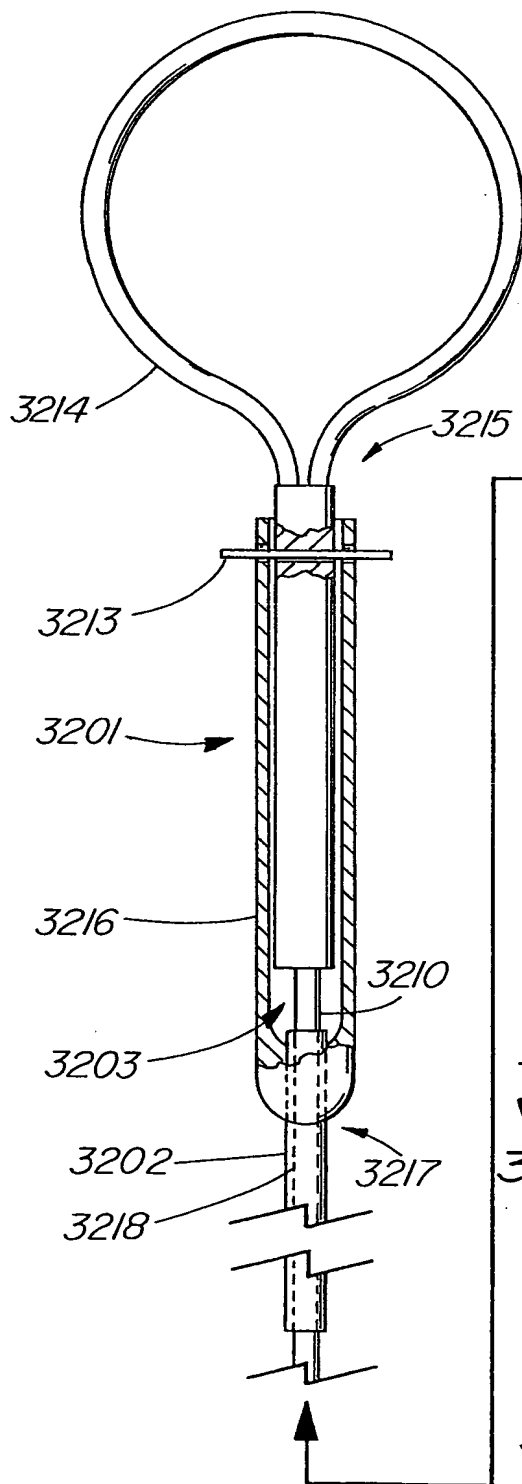


FIG. 33

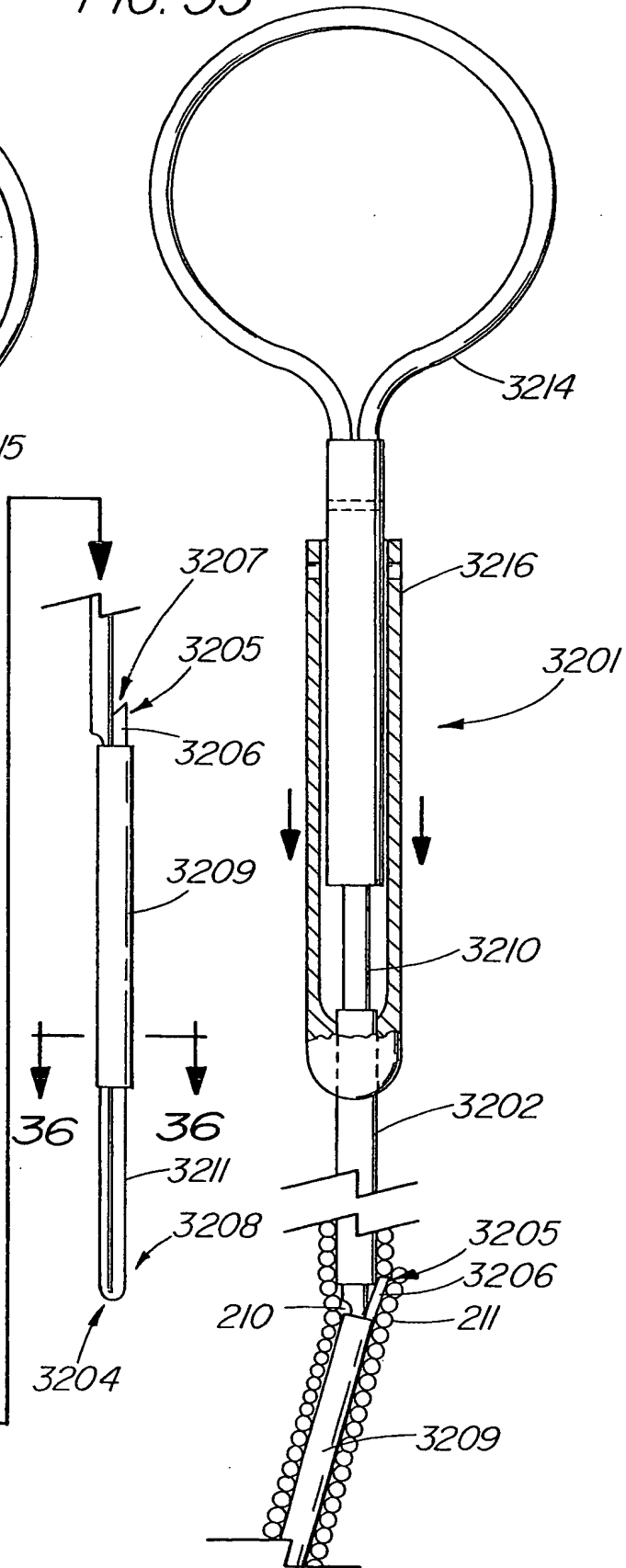


FIG. 34

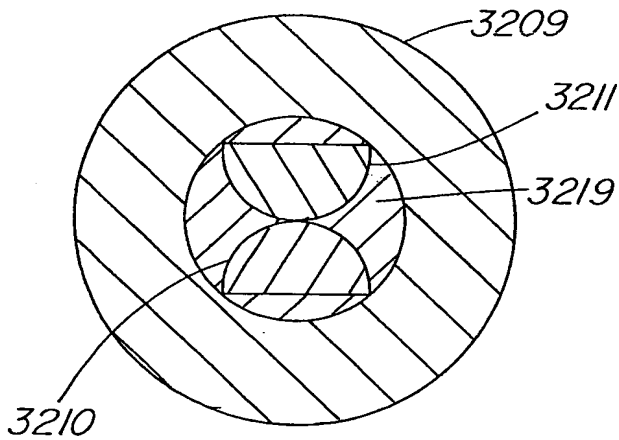
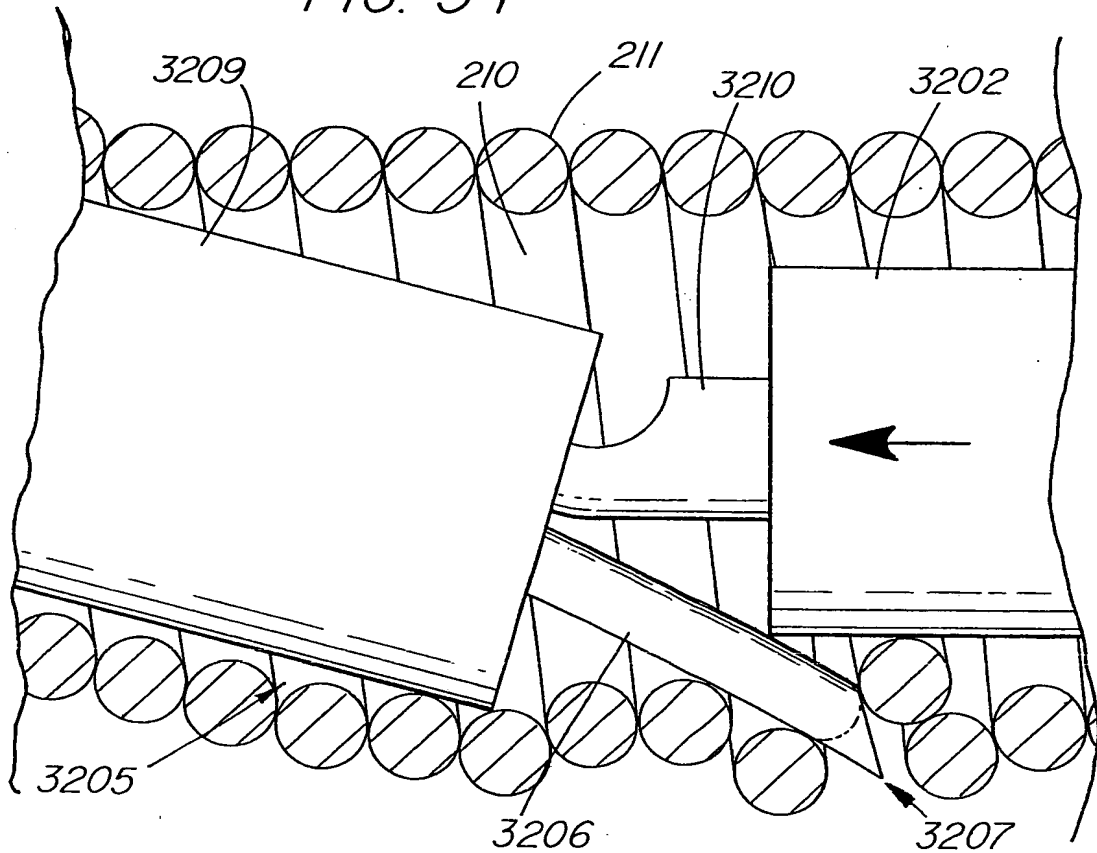


FIG. 35

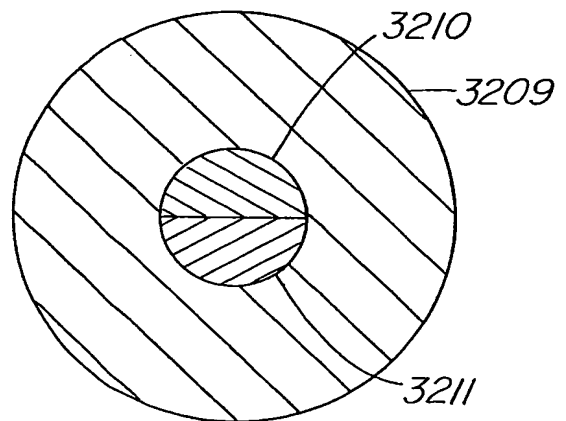


FIG. 36

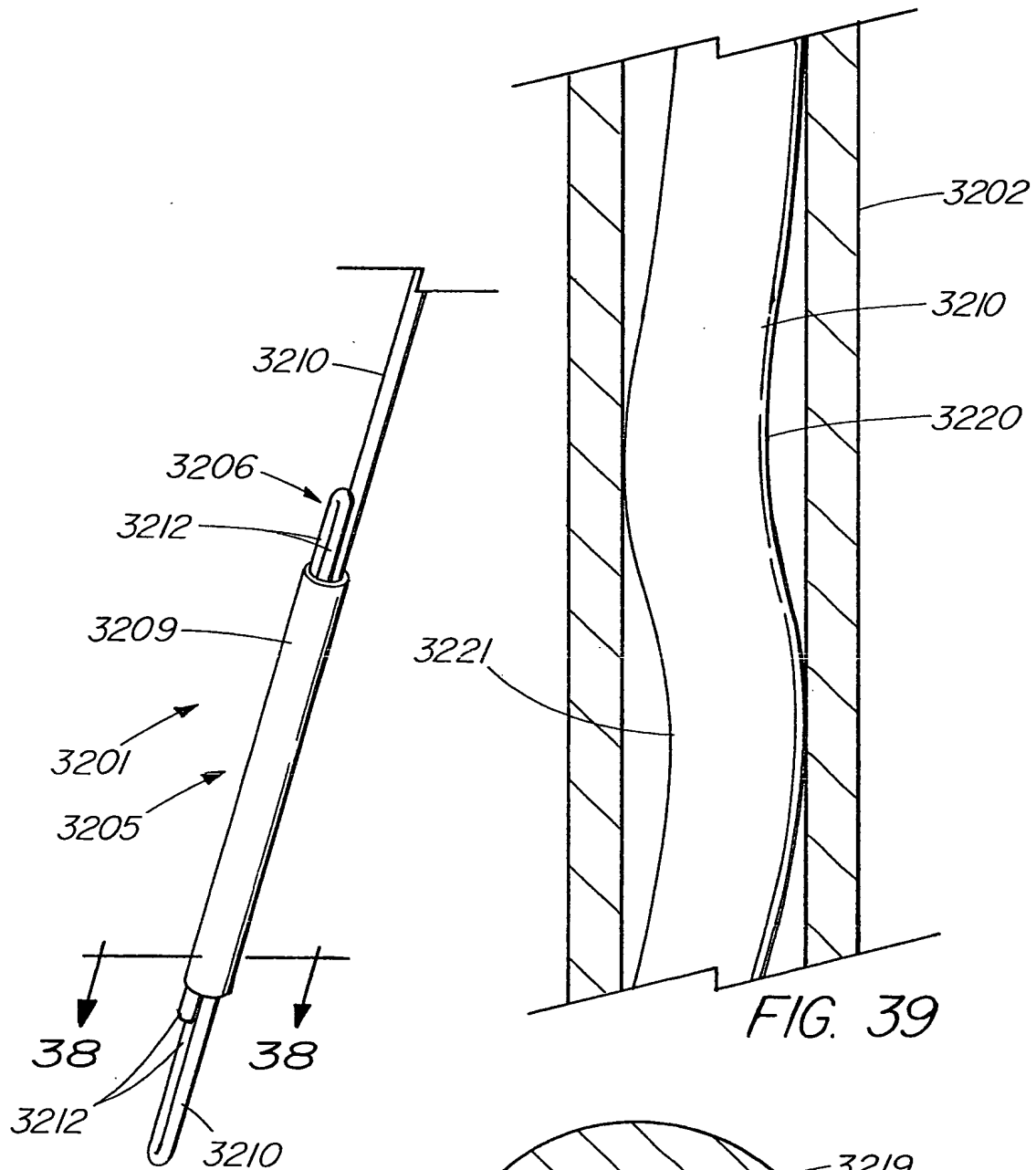


FIG. 37

FIG. 39

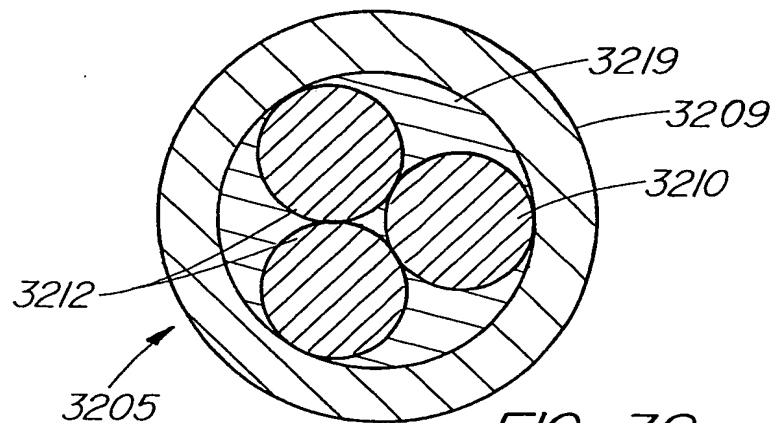
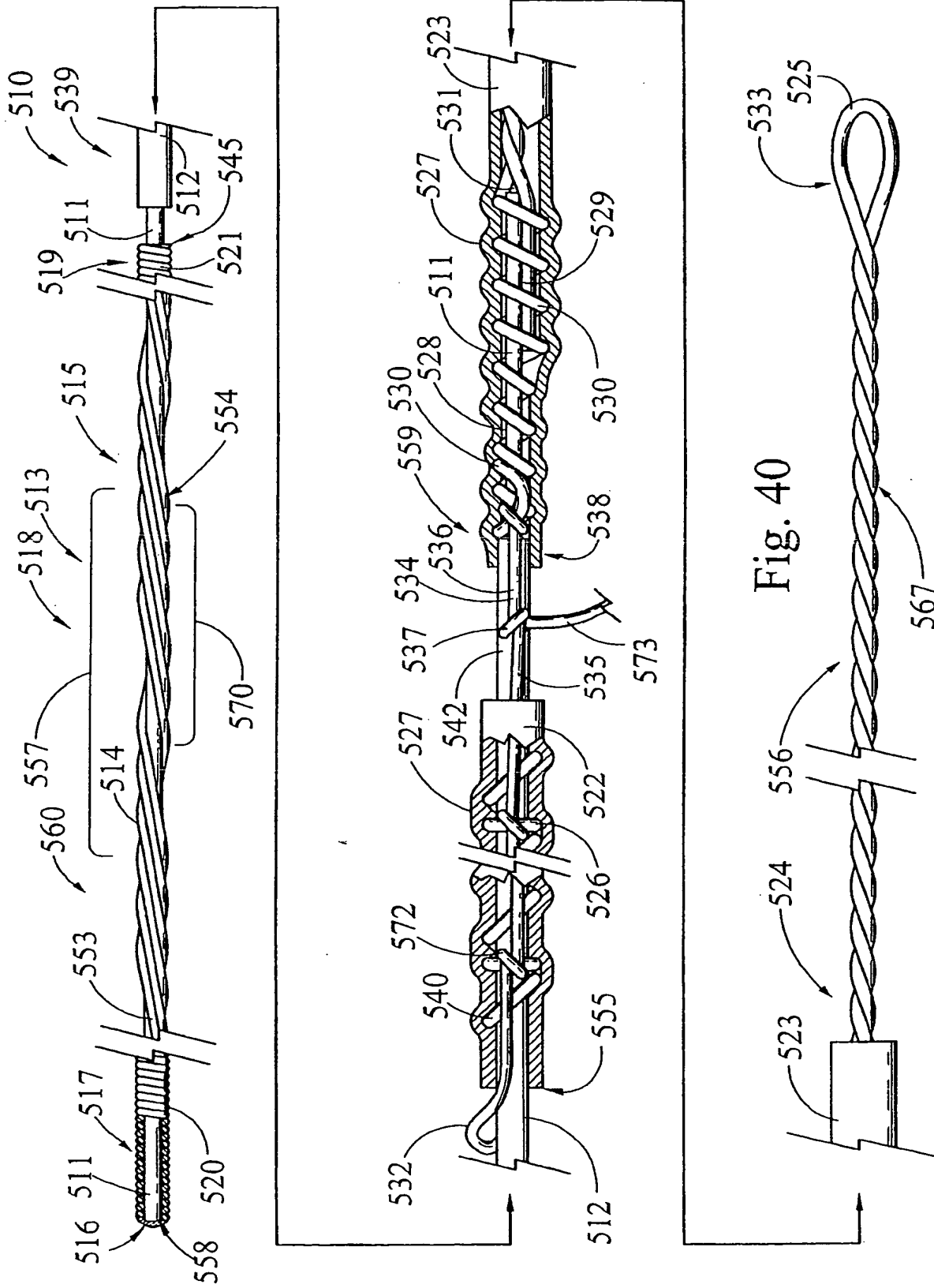


FIG. 38





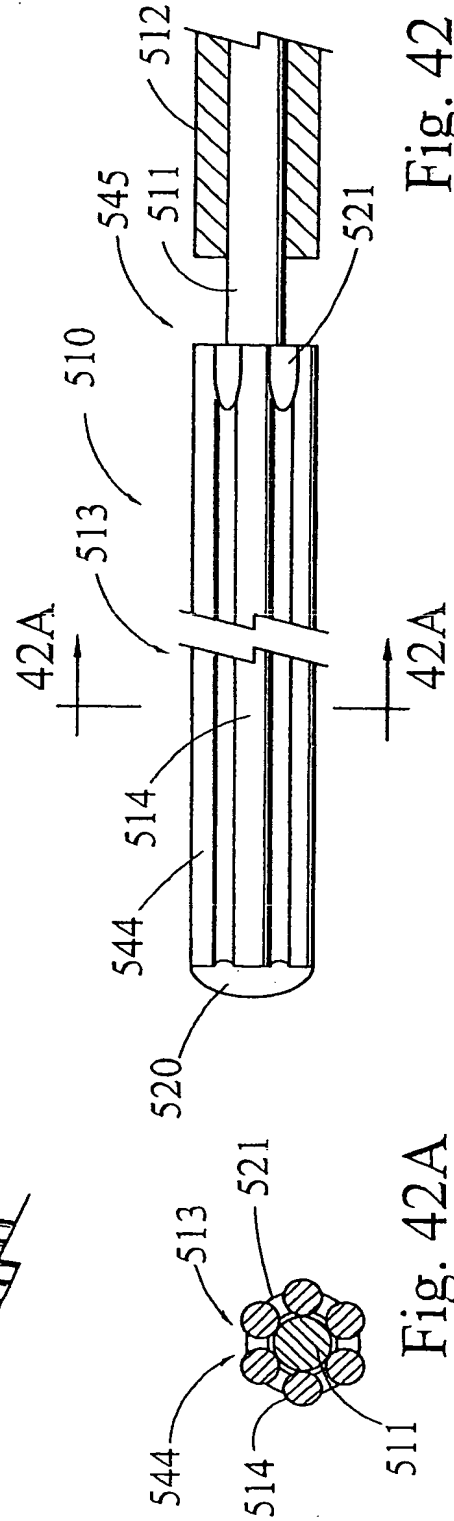
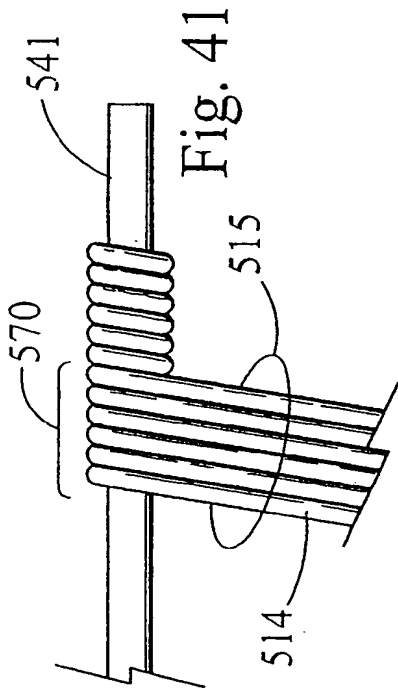


Fig. 42A

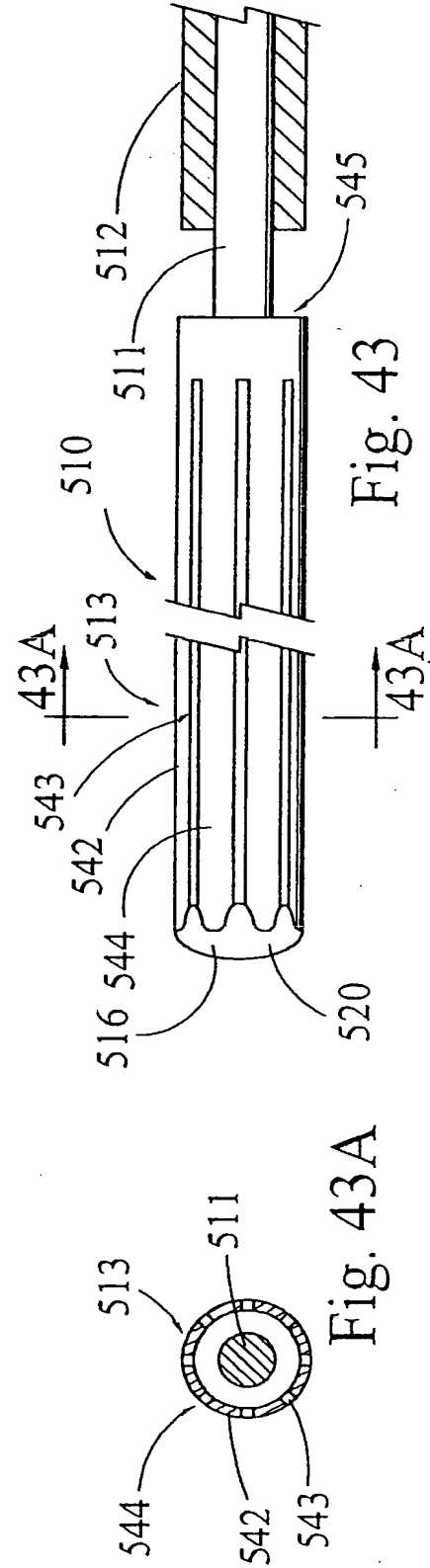
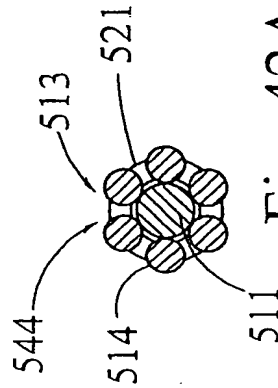
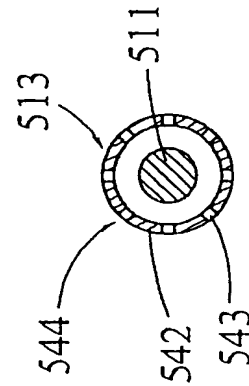
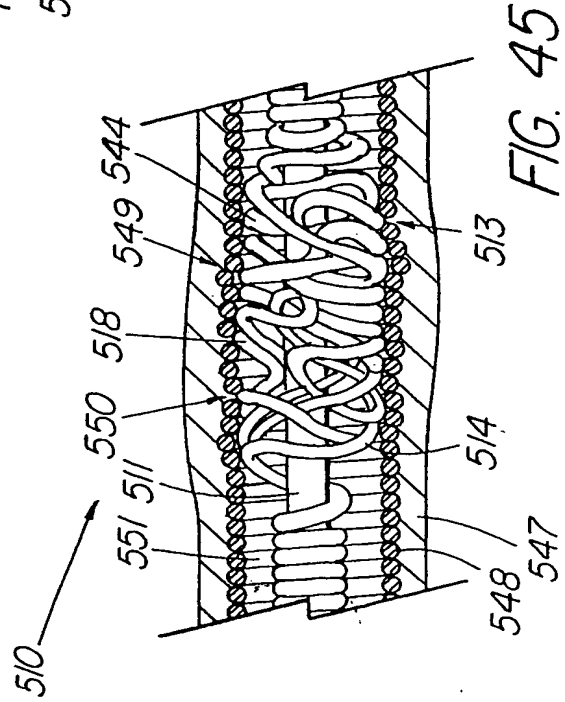
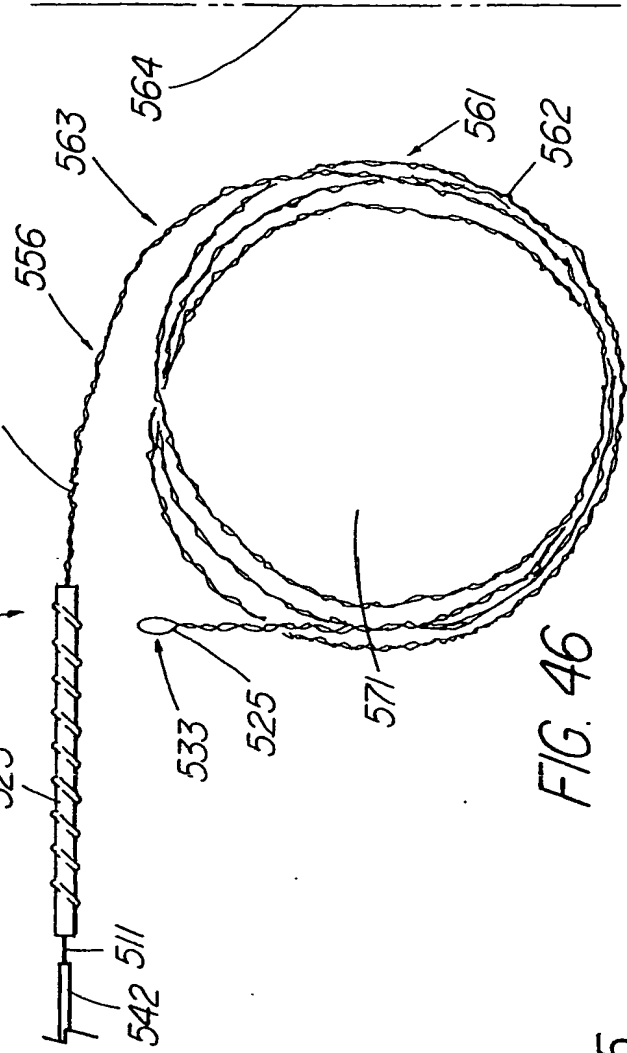
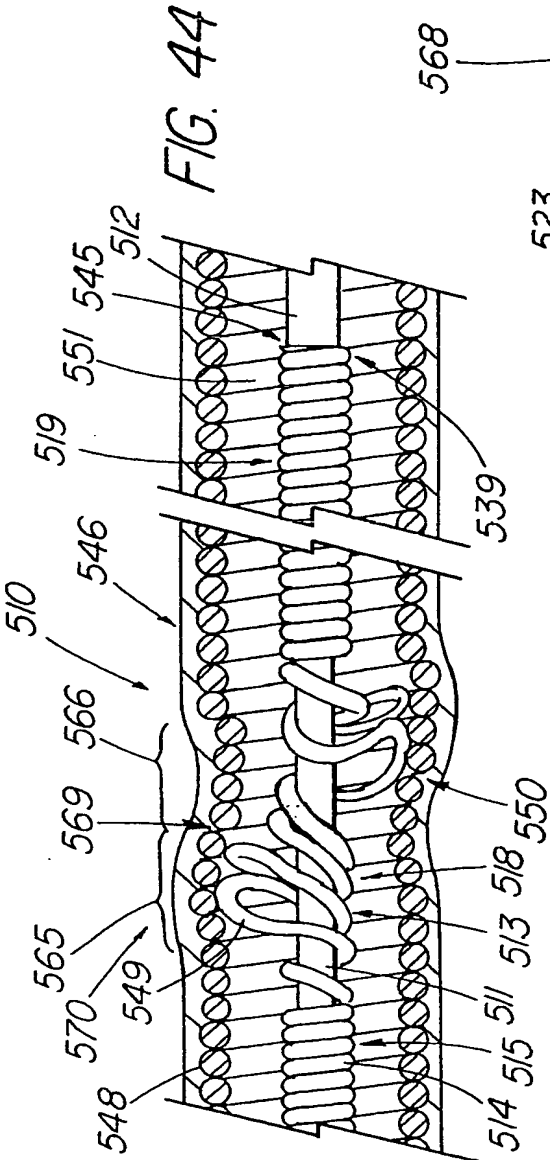


Fig. 43A





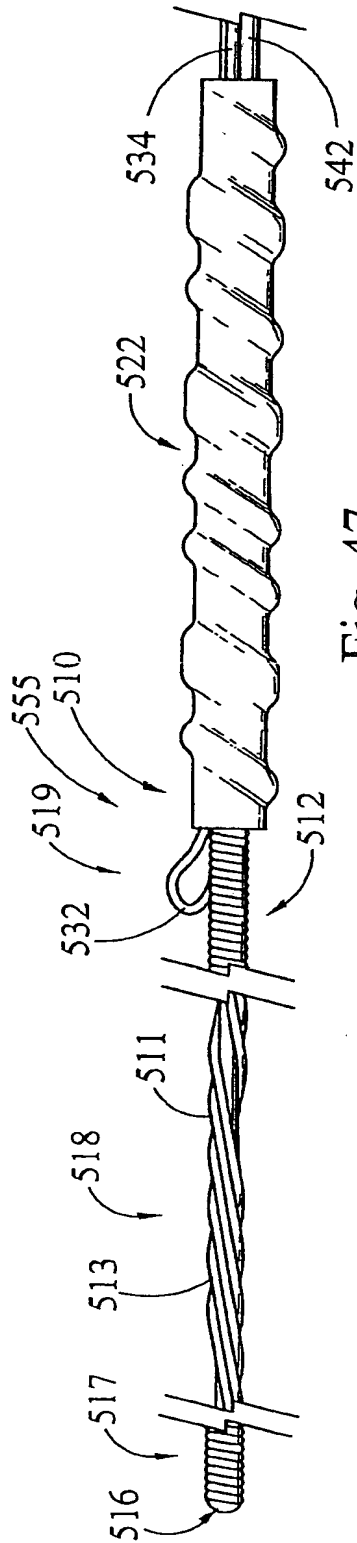


Fig. 47